

III-89 遠心力装置を利用して粘性土の斜面安定実験(オ2報)

大阪市立大学工学部 正員 三笠正人

正員 ○望月秋利

学生員 中塚大一

筆者らは数年前から遠心力装置を利用して斜面の安定実験を行なってきた。今回は材料にカオリンと砂を混入した樹脂系土質安定剤(以後「固結剤」と呼ぶ)で固めた超鉛敏粘土(以後「人工粘土」と呼ぶ)を用いて、新たに開発した変位測定装置で斜面表面の変位を測定し、斜面破壊に至る変形のプロセスを検討した。

1. 斜面モデル

1) 斜面の形状 斜面は均一斜面、中间に軟弱層とはさんだ3層斜面、下層の強度の大きい2層斜面の3種で、合計10回の実験を行なった。斜面勾配はすべて1:1で、寸法は図-1の通りである。

(2) 人工粘土斜面の作製法 均一斜面の作成法は、カオリンと砂を混せたもの(重量比3:2)に水を含水比が6%となるようにして搅拌し、固結剤を投入して搅拌を続ける。充分混合した所で供試体容積(50×30×14.5cm)に流し込み、雄型を押し当て固定し20~24時間養生する。養生が終ったら型枠を取り外し、実験中の変形の指標となるソーメンを1~2cm間隔に挿入し、供試体を完成する。斜面材料の強度は斜面供試体を作成同時に作製した一軸圧縮試験(φ3.5×8cm)と、斜面安定実験に先立ち試験して求める。なお2,3層斜面の場合は、まず上述した方法で最下層を作製し1時間後に型枠を外す。次に強度の異なるオーバルを打ち込み、この操作を繰り返す。全層を打ち込んだ後20~24時間養生して供試体を完成する。

(3) 人工粘土の性質 この材料の強度は主として水に対する固結剤の量によって変化するので一軸圧縮強度が1.5~8.5t/m²となるような範囲で用了した。表-1に人工粘土の諸性質を示す。今回報告する斜面に用いた材料の一軸強度は図-1中に、またそれらの破壊ヒスマッシュが2~4名の間であった。相対含水比は200%に達し、ぬり返せば液状となってしまう超鉛敏粘土である。統一分類名はCLである。圧縮指数は0.62で圧縮性を示す。

2. 実験装置と実験方法

(1) 実験装置 遠心力装置についてはすでに紹介しているので変位測定装置について示す。水平変位の測定はリン青銅板にストレーナーをはりつけたものと、垂直変位の測定は差動トランジistorを用いた。これらを図-1に示すP1~P5(PはPointの略)の位置に取りつけた。

(2) 実験方法 加速度を0.6~2g/秒の速度で徐々に増加し、斜面を破壊させる。実験中の観察はストロボを回転と同調発光灯で視察及び写真撮影を行ない、同時に変位をペン書きオシロ用いて記録させる。

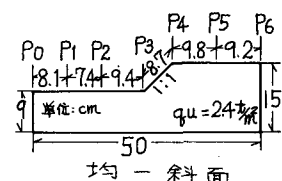
3. 実験結果と考察

(1) 実験結果 代表的な例としてNo.9(均一斜面)の結果を写真1~3、図-3~6と、No.7(3層斜面)の結果を写真-4、図-4~6と、No.6(2層

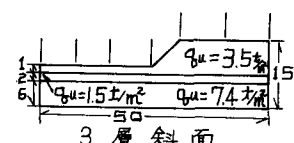
表-1 人工粘土の諸性質

Gs	γ_f	e	S _r	w	LL	PL	WR	Cc	統一分類
2.607	1.53 ^{+0.05}	2.89	95.0%	687%	47.0%	254%	2.0	0.62	CL

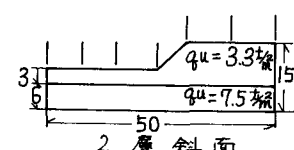
(固結剤/水=0.12、均一斜面用材料)



均一斜面



3層斜面



2層斜面

図-1 斜面の形状、寸法と変位測定位置

斜面)の結果を写真-1に示す。斜面の破壊加速度はNo.9で103~108g(gは重力加速度), No.7で116g, No.6で101gであった。実験後にはいずれの場合も供試体から排水された約30ccの水が斜面の表面に溜っていた。図-4の垂直変位の結果は圧密によるものとせん断によるものの合併したものであるが、P1の結果についてはほとんど自重による圧密沈下だけであると考えられる所からP2,3に對してはP1との差を、P4,5に對しては $P1 \times (15/9)$ (供試体高さの比、図-1参照)の値(推定圧密沈下量)との差をせん断による沈下(隆起)とみなした。以下、沈下、隆起の語はこの意味での「せん断による沈下」。

隆起」を指す。

(2)斜面破壊のプロセス No.9(均一斜面)の破壊に至る過程は写真1~3、図3~6に示すようにかなり複雑で、このプロセスは4段階にわけて次のように説明できる。オ1段階(0~71g)では垂直、水平変位とも徐々に増加し、P3の水平運動、P5の沈下及びP2-3の圧縮、P5-6の引張ヒズミが顕著となる。オ2段階(72~91g)ではすばりにその傾向が進み、写真-1のBすばりを中心とした小破壊が起こる。オ3段階(91~103g)では、すべり土塊は前方の受衝土圧に抵抗しつつ、すべりは小窓と深づ形となるが、P4-5の引張ヒズミが着実に増加する。写真-2を観察すると写真-1の状態よりすべり面の移動が大きくなっている。オ4段階(104g以上)ではP4の沈下、P2の隆起、P2-3, J-2の圧縮、P4-5の引張ヒズミが急増して破壊に至る。写真-3ですべり面がノリ肩からノリ尻の方向に特に集中しているのが體験である。この一連の破壊現象は広い意味での進行性破壊と考えられる。

No.7(3層斜面)の破壊形状は写真-4に示すように比較的小さな円弧状で、破壊のプロセスは2段階にわたりて説明できる。オ1段階(0~86g)ではP5,4の沈下、P3-4の圧縮、P5-6の引張ヒズミが顕著となる。オ2段階(87g以上)ではP3の水平、P4の沈下、P4-5の引張ヒズミが急増し、またP3-4が圧縮から引張に転じて破壊に至る。また浅いすべり面であったためP1,2,3の沈下量は少ない。

No.6(2層斜面)の破壊プロセスは3層斜面のそれによく似ているが、写真-5に示すように非常に浅いすべりで破壊しておき、破壊の直前ではP4の沈下、P3,4の水平変位が特に顕著に表われた。以上のような傾向は定性的には他の実験にも共通したものである。

(3)結果の考察 ①破壊時のすべり面付近の状況
深いすべりを生ずる場合: すべり円弧の山側附近では沈下と引張ヒズミが、谷側附近では隆起と圧縮ヒズミが生ずる。斜面天端の沈下量は浅いすべりを起す場合よりかなり大きくなる(均一斜面の場合を3層斜面の場合に比較すると約2倍である。)

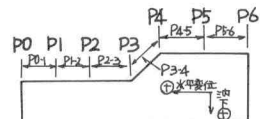
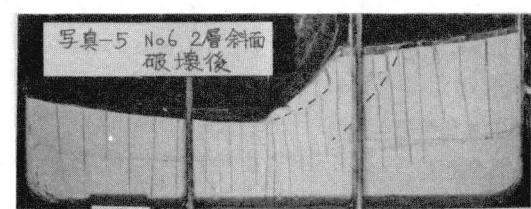
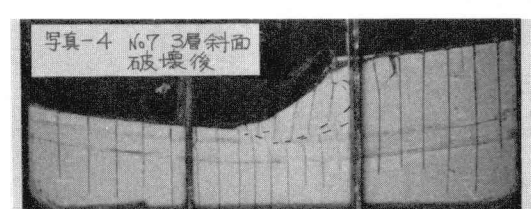
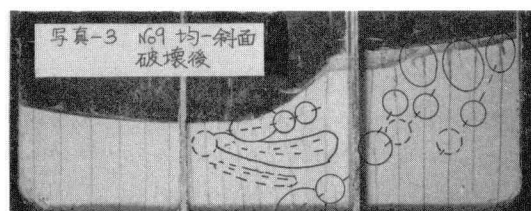
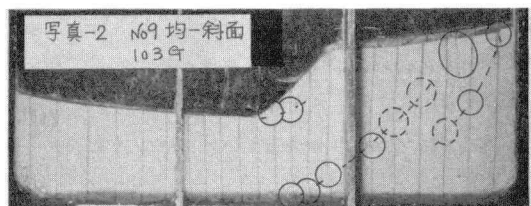
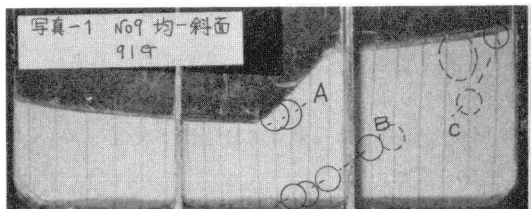


図-2 変位測定位置



浅いすべり(ノリ生)破壊を起こす場合：すべり円弧山側端付近では沈下と引張ヒズミが生じ、ノリ生の水平変位の移動は大す。またノリ面で生じていた圧縮ヒズミは破壊前から減少して引張ヒズミに転する。**②**今回の実験ではその初期においてノリ肩後方(Point 1)の沈下と引張ヒズミが大きいが、次第にノリ肩附近の沈下と引張ヒズミが大きくなり破壊する。これはせん断ヒズミの大きな箇所の位置が移る状態を示し、このことは強度の一様な斜面の臨界円は大すが深い内側となることと踏まえれば、実験初期にはこの大きなすべり面に沿って変形が進行し、加重度が増すにつれ自重圧密による強度の増加、容積の影響もあり浅いすべり面で破壊したと解釈され、広い意味での進行性破壊を起したものと考えられる。

③水平変位、垂直変位の測定結果を観察すると、破壊時に

すべり土塊全体が必ずしも同時に移動したこととは云えない傾向を示し、一つのすべり面においても進行性破壊が起こっている可能性が考えられる。たゞ用いた材料が超鉄錆なため、測定方法と相まって定量的に明確にすることはできなかった。

謝辞：実験に協力してくれた中島(市立院)、藤原(滋賀県)両君

に感謝します。

参考文献：

①三笠哲男・

重心装置と

利用した粘性

工の斜面安

定実験・考

27回土木年会

年次学術講

演会

